



北京航空航天大学
BEIHANG UNIVERSITY

流体 & 声学

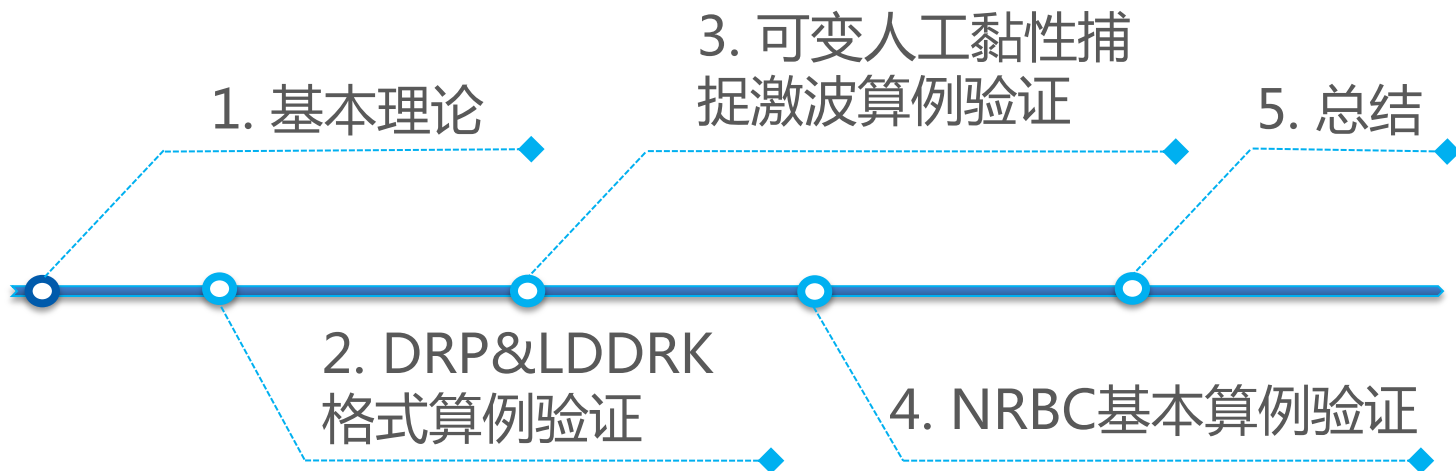


2015年 计算声学 期末课程答辩

——一些声传播算例

任课教师：李晓东 教授
高军辉 副教授

报告人：成 龙





DRP Scheme

引入有效波数概念

耗散误差(Dissipation Error)

$$\text{Im } g\{\alpha\Delta x - \bar{\alpha}\Delta x\}$$

频散误差(Dispersion Error)

$$\text{Re}\{\alpha\Delta x - \bar{\alpha}\Delta x\}$$

$$E = \int_0^{\eta} |\alpha\Delta x - \bar{\alpha}\Delta x|^2 d(\alpha\Delta x)$$

Minimum



Tam(1993) 在频域下
分析得到了7点频散
相关保持格式



LDDRK Scheme

引入放大因子概念

耗散误差(Dissipation Error)

$$1 - |r(\omega\Delta t)|$$

频散误差(Dispersion Error)

$$|\omega^* \Delta t - \omega\Delta t| = i \ln \left[\frac{r(\omega\Delta t)}{e^{-i\omega\Delta t}} \right]$$

$$E = \int_0^\eta \left| 1 + \sum_{j=1}^p c_j (-i\omega\Delta t)^j - e^{-i\omega\Delta t} \right|^2 d(\omega\Delta x)$$

Minimum



Hu(1996) 在频域范围分析得到低频散低耗散Runge-Kutta时间推进格式 (LDDRK)



基本理论-可变人工黏性方法原理

可变人工黏性方法

基本原理：基于摄动解

1. 确定激波强度: $u_{stencil} = |u_{\max} - u_{\min}|$

2. 定义模板网格雷诺数: $R_{stencil} = \frac{u_{stencil} \Delta x}{\nu}$

3. 在离散方程中添加黏性项: ν

Neumann(1940s)
利用人工黏性方法成功捕捉到激波



基本理论-无反射边界条件(NRBC)

辐射及出流边界条件

基于均匀背景流
的线化小扰动
Euler方程

特征值分解

涡波
熵波
声波

模
态

仅存在声波
扰动的边界

摄动解

辐射边界
条件

边界存在涡
波, 熵波,
声波扰动

摄动解

出流边界
条件

Tam等(1993)提出
DRP格式时采用辐射
及出流边界条件



基本理论-无反射边界条件(NRBC)

PML吸收边界条件

在求解域四周布置PML区域

Hu等(1996)最早从计算电磁学中将PML边界条件引入CAA中

主控方程

$$\begin{cases} \frac{\partial U}{\partial t} + A \frac{\partial U}{\partial x} + B \frac{\partial U}{\partial y} + \sigma_y A \frac{\partial q}{\partial x} + \sigma_x B \frac{\partial q}{\partial y} + (\sigma_x + \sigma_y) \tilde{U} + \sigma_x \sigma_y q = 0 \\ \frac{\partial q}{\partial t} = U \end{cases}$$

PML区域吸收系数的确定

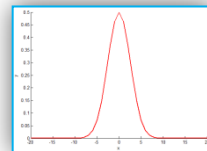
$$\begin{cases} \sigma_x = \sigma_m (1 - M^2) \left| \frac{x - x_l}{D} \right|^\beta \\ \sigma_y = \sigma_m \left| \frac{y - y_l}{D} \right|^\beta \end{cases}$$



DRP&LDDRK格式算例验证

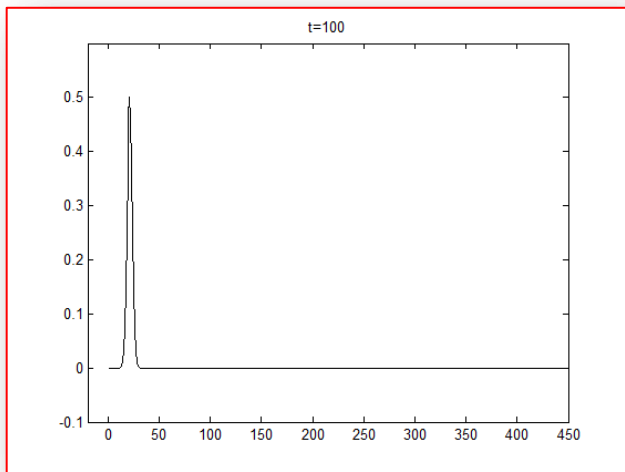
高斯脉冲波一维迁移模拟

$t=100, 200, 300, 400, 500$

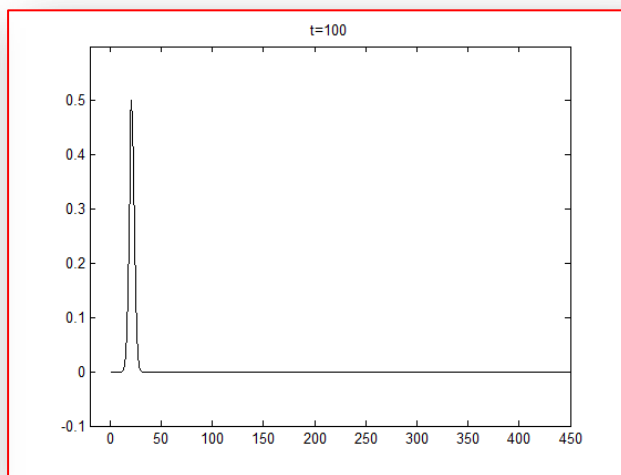


$$f(x) = 0.5 \exp\left[-(\ln 2)\left(\frac{x}{3}\right)^2\right]$$

Gauss Pulse Wave



Lax-Wendroff Scheme



LDDRK+DRP Scheme

主控方程： $\frac{\partial u}{\partial t} + \frac{\partial u}{\partial x} = 0$

离散格式：

 Lax-Wendroff

 **DRP&LDDRK**

时间步长：0.8

空间步长：1

计算步数：500

周期性边界条件

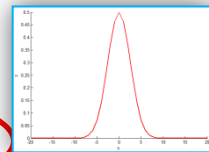


DRP&LDDRK格式算例验证

高斯脉冲波一维迁移模拟-两种格式计算误差

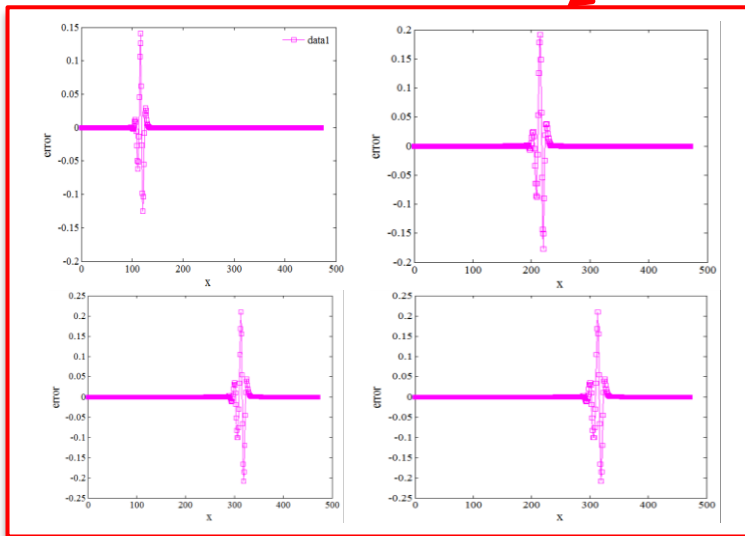
$$f(x) = 0.5 \exp\left[-(\ln 2)\left(\frac{x}{3}\right)^2\right]$$

Gauss Pulse Wave

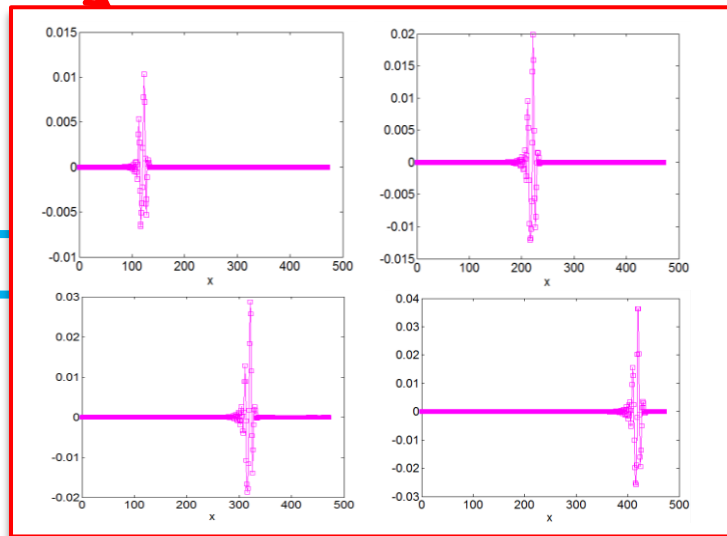


$t=200, 300, 400, 500$

$error > 0.15$ $error < 0.04$



Lax-Wendroff Scheme



LDDRK+DRP Scheme



非线性迁移方程

$$\begin{cases} \frac{\partial \rho}{\partial t} + u \frac{\partial \rho}{\partial x} + \rho \frac{\partial u}{\partial x} = 0 \\ \frac{\partial u}{\partial t} + u \frac{\partial u}{\partial x} + \frac{1}{\rho} \frac{\partial p}{\partial x} = 0 \\ \frac{\partial p}{\partial t} + u \frac{\partial p}{\partial x} + \gamma p \frac{\partial u}{\partial x} = 0 \end{cases}$$

非线性Euler方程

特征变量分析

$$\frac{\partial u}{\partial t} + \left(1 + \frac{\gamma+1}{2}u\right) \frac{\partial u}{\partial x} = 0$$

声波传播的非线性主控方程

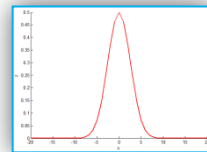
大于0, 将
产生激波

仅仅只用LDDRK+DRP格式将会产生很大频散！



可变人工黏性捕捉激波算例验证

可变人工黏性方法捕捉激波-解析解



$$u(x, 0) = 0.5 \exp(-\ln(2) \left(\frac{x}{12}\right)^2)$$

Gauss Pulse Wave

主控方程 $\xrightarrow{\text{特征线理论}}$

$$u(x, t) = 0.5 \exp(-\ln(2) \left(\frac{x - (1 + \frac{\gamma+1}{2} u(x, t))t}{12}\right)^2)$$

牛顿迭代法 $u_{k+1} = u_k - f(x) / f'(x)$

U在时间和空间解的分布

主控方程 : $\frac{\partial u}{\partial t} + \frac{\partial u}{\partial x} + \frac{\gamma+1}{2} u \frac{\partial u}{\partial x} = 0$

离散格式 : **DRP&LDDRK**

时间步长 : 0.0569

空间步长 : 1

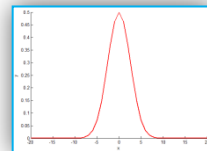
计算时间 : 100

网格雷诺数 : $R_{stencil} = 0.06$



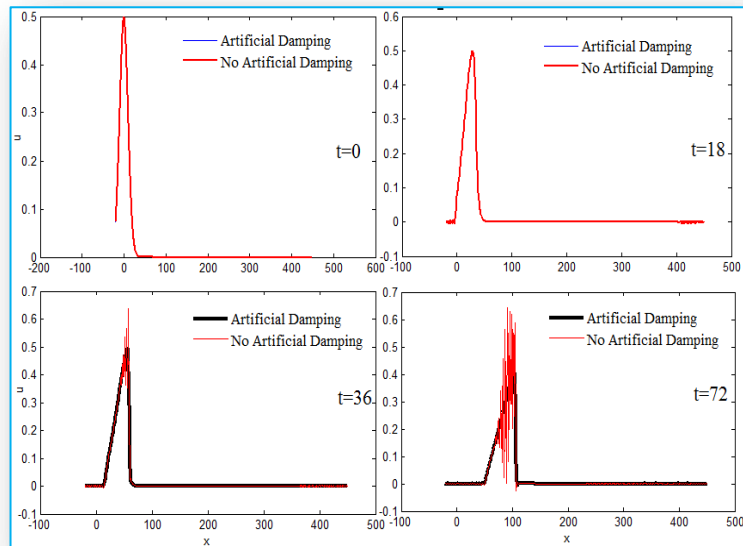
可变人工黏性捕捉激波算例验证

可变人工黏性方法捕捉激波-数值解

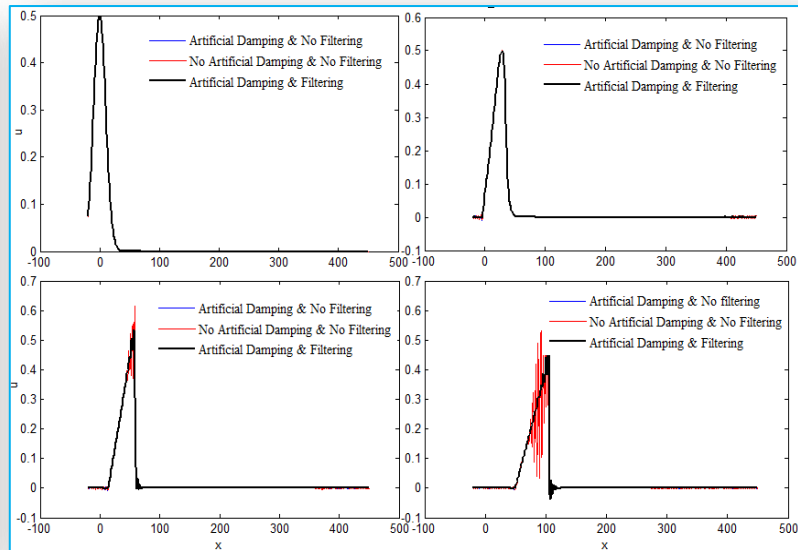


$$u(x, 0) = 0.5 \exp(-\ln(2)(\frac{x}{12})^2)$$

Gauss Pulse Wave



非守恒形式下加与不加人工黏性

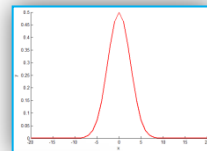


守恒形式下加与不加人工黏性



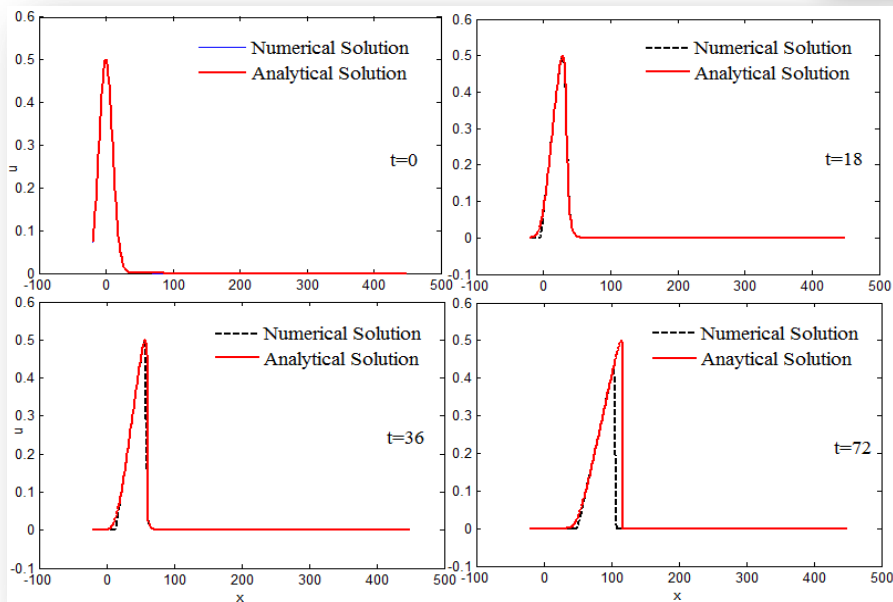
可变人工黏性捕捉激波算例验证

可变人工黏性方法捕捉激波-数值解与解析解对比



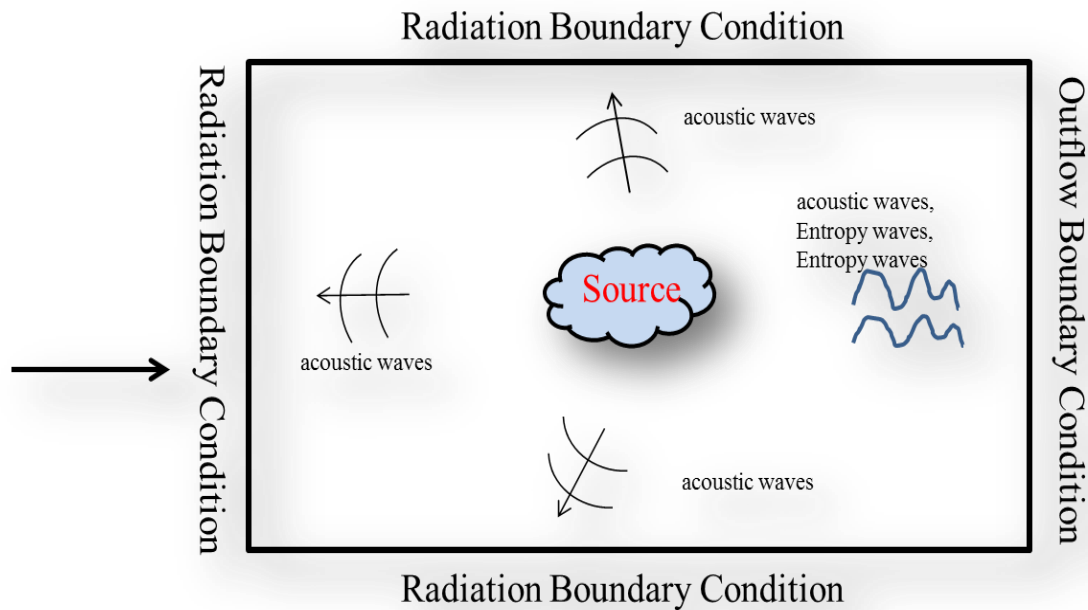
$$u(x, 0) = 0.5 \exp(-\ln(2)(\frac{x}{12})^2)$$

Gauss Pulse Wave



添加可变人工黏性的非守恒形式求解结果与解析解对比

二维声波扰动传播-分析模型



主控方程

$$\frac{\partial U'}{\partial t} + \frac{\partial E'}{\partial x} + \frac{\partial F'}{\partial y} = 0$$

$$U' = \begin{bmatrix} \rho' \\ u' \\ v' \\ p' \end{bmatrix}, E' = \begin{bmatrix} M \rho' + u' \\ M u' + p' \\ M v' \\ M p' + u' \end{bmatrix}, F' = \begin{bmatrix} v' \\ 0 \\ p' \\ v' \end{bmatrix}$$

初始扰动： p, u, v, ρ

二维声波扰动传播-边界条件

辐射边界条件：

$$\left(\frac{1}{V(\theta)} \frac{\partial}{\partial t} + \cos \theta \frac{\partial}{\partial x} + \sin \theta \frac{\partial}{\partial y} + \frac{1}{2\sqrt{x^2 + y^2}} \right) \begin{bmatrix} \rho' \\ u' \\ v' \\ p' \end{bmatrix} = 0$$

出流边界条件：

$$\begin{cases} \frac{\partial \rho'}{\partial t} + Ma \frac{\partial \rho'}{\partial x} = \frac{\partial p'}{\partial t} + Ma \frac{\partial p'}{\partial x} \\ \frac{\partial u'}{\partial t} + Ma \frac{\partial u'}{\partial x} = -\frac{\partial p'}{\partial x} \\ \frac{\partial v'}{\partial t} + Ma \frac{\partial v'}{\partial x} = -\frac{\partial p'}{\partial y} \\ \frac{\partial p'}{\partial t} = -V(\theta) \cos \theta \frac{\partial p'}{\partial x} - V(\theta) \sin \theta \frac{\partial p'}{\partial y} - \frac{p' V(\theta)}{2\sqrt{x^2 + y^2}} \end{cases}$$

二维声波扰动传播-离散格式及稳定性限制

空间和时间步长稳定性限制：

$$\begin{cases} \Delta t \leq \frac{0.19}{1.75[M + (1 + (\Delta x / \Delta y)^2)^{1/2}]} \Delta x \\ \Delta x \leq \frac{\lambda_{\min}}{6.6} \end{cases}$$

初始扰动的最小波长为18



DRP格式

对于声波，涡波和熵波扰动：

$$\begin{cases} \Delta t \leq \Delta t_{\max} = \frac{0.4}{1.75[M + (1 + (\Delta x / \Delta y)^2)^{1/2}]} \frac{\Delta x}{a_0} \\ \Delta t < \frac{0.4}{1.75M} \frac{\Delta x}{a_0} \end{cases}$$

DRP的PPW限制：

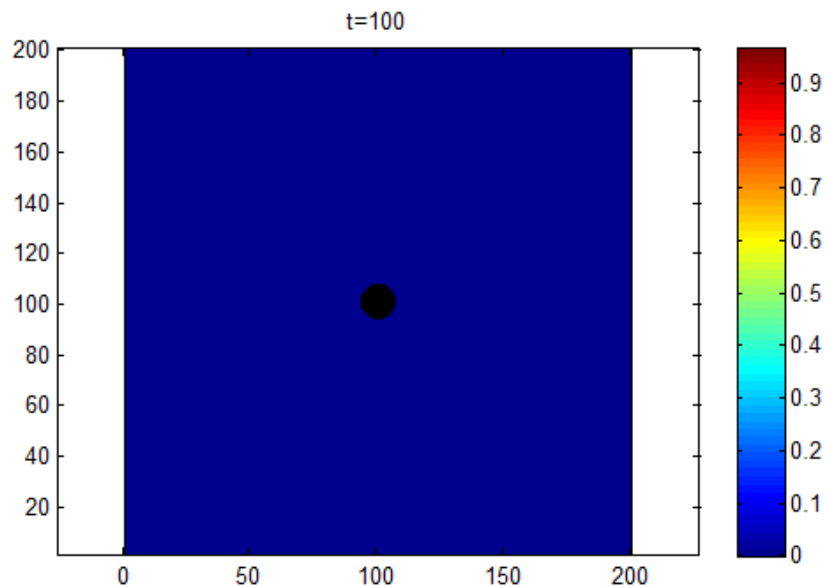
$$\frac{\lambda_{\min}}{\Delta x} \geq 6.6$$

LDDRK格式

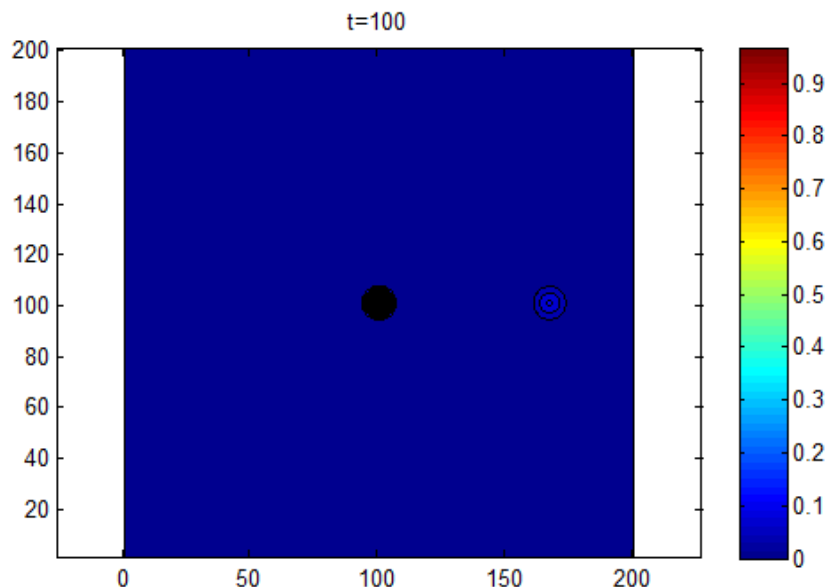
$$\Delta t \leq \Delta t_{\max} = \frac{0.19}{1.75[M + (1 + (\Delta x / \Delta y)^2)^{1/2}]} \frac{\Delta x}{a_0}$$



二维声波扰动传播-求解结果



压力 p (声波)

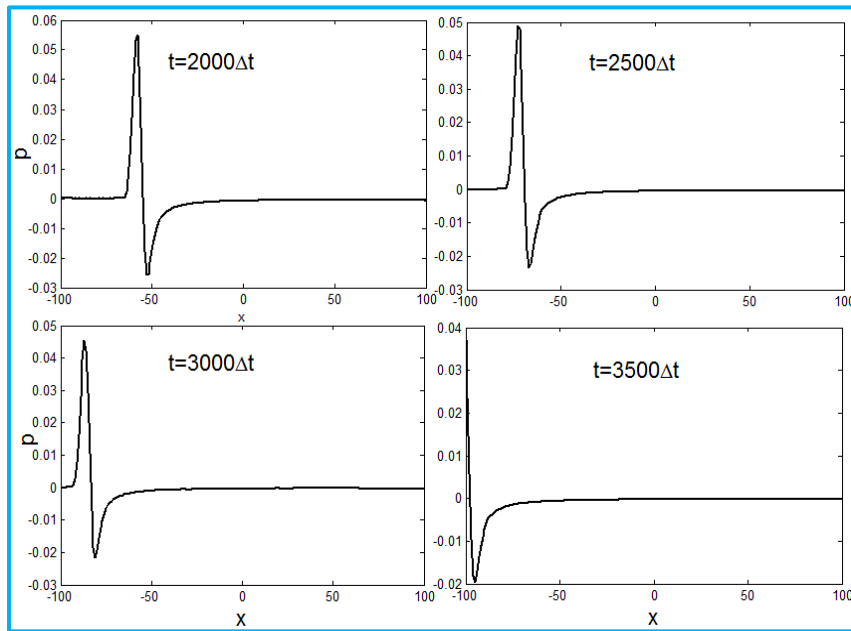
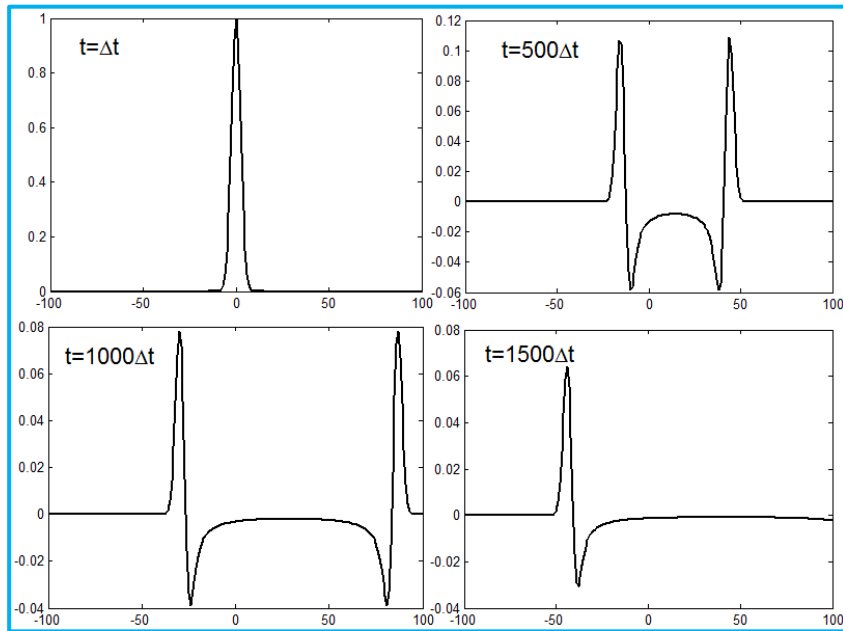


密度 ρ (熵波)



二维声波扰动传播-求解结果

定量曲线结果

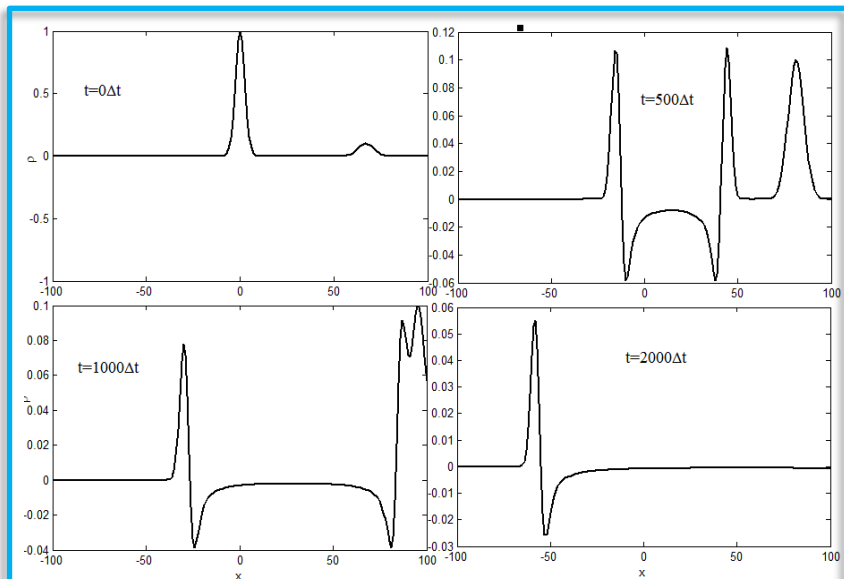


X轴上各时间步压力分布曲线图

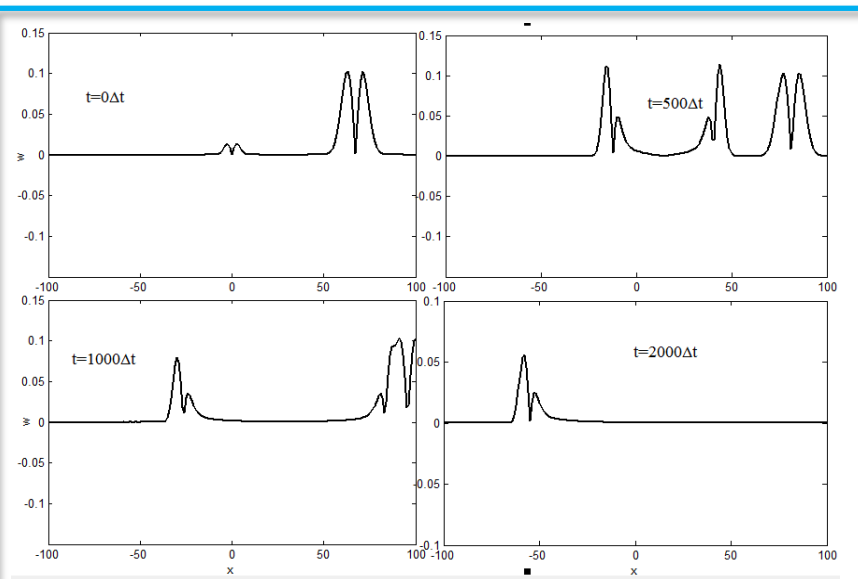


二维声波扰动传播-求解结果

定量曲线结果

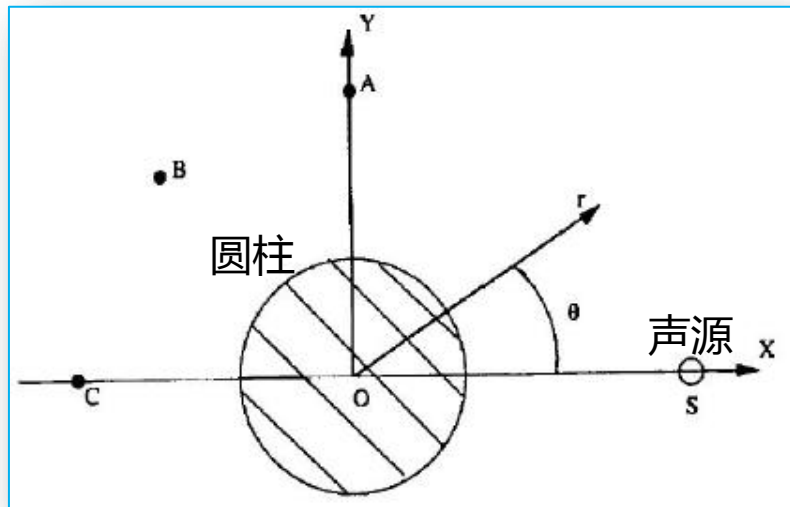


X轴上各时间步密度分布曲线图



X轴上各时间步绝对速度分布曲线图

圆柱声散射数值实验-分析模型



问题模型

$$\begin{cases} \frac{\partial \rho}{\partial t} + \frac{\partial u}{\partial x} + \frac{\partial v}{\partial y} = 0 \\ \frac{\partial u}{\partial t} + \frac{\partial p}{\partial x} = 0 \\ \frac{\partial v}{\partial t} + \frac{\partial p}{\partial y} = 0 \\ \frac{\partial p}{\partial t} + \frac{\partial u}{\partial x} + \frac{\partial v}{\partial y} = S \end{cases}$$

控制方程：

二维线化
Euler方程

圆柱声散射数值实验-计算模型

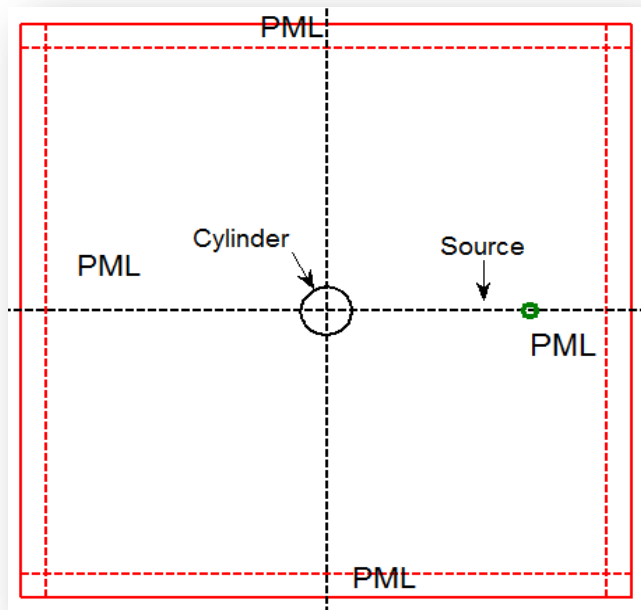
Immersed Boundary Method
LDDRK时间推进格式
DRP空间离散格式
PML吸收边界条件

优势

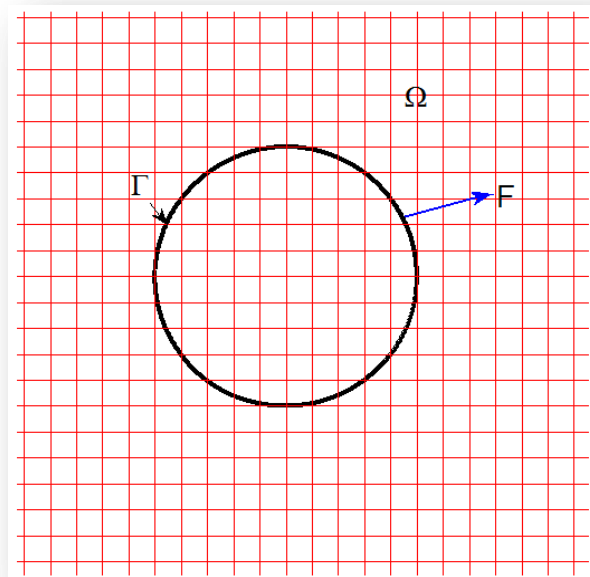


- a. IB生成完全正交的Cartesian网格；
- b. LDDRK和DRP格式能够具有较低的频散；
- c. PML吸收边界条件配合IB生成的Cartesian网格可以很好的施加，且能够很好地满足无反射边界条件

圆柱声散射数值实验-计算模型



计算域及PML区域设置



IB网格模型



圆柱声散射数值实验-固壁边界条件

力源求解采用影响矩阵法！

1977年，Peskin为了模拟心脏瓣膜及血液流动提出了IB方法，IB方法巧妙地将固壁对流动的影响转化为了作用在流体上的体积力，其中体积力的大小应该满足流场在固壁处无滑移边界条件，为奇异力源形式。

$$\begin{cases} \frac{\partial \rho}{\partial t} + \frac{\partial u}{\partial x} + \frac{\partial v}{\partial y} = 0 \\ \frac{\partial u}{\partial t} + \frac{\partial p}{\partial x} = f_x \\ \frac{\partial v}{\partial t} + \frac{\partial p}{\partial y} = f_y \\ \frac{\partial p}{\partial t} + \frac{\partial u}{\partial x} + \frac{\partial v}{\partial y} = S \end{cases}$$

$$\begin{cases} f_x = \int_s F_x \delta(x - \vec{X}) ds \\ f_y = \int_s F_y \delta(x - \vec{X}) ds \end{cases}$$

<使用狄拉克函数的近似型函数代替狄拉克函数>

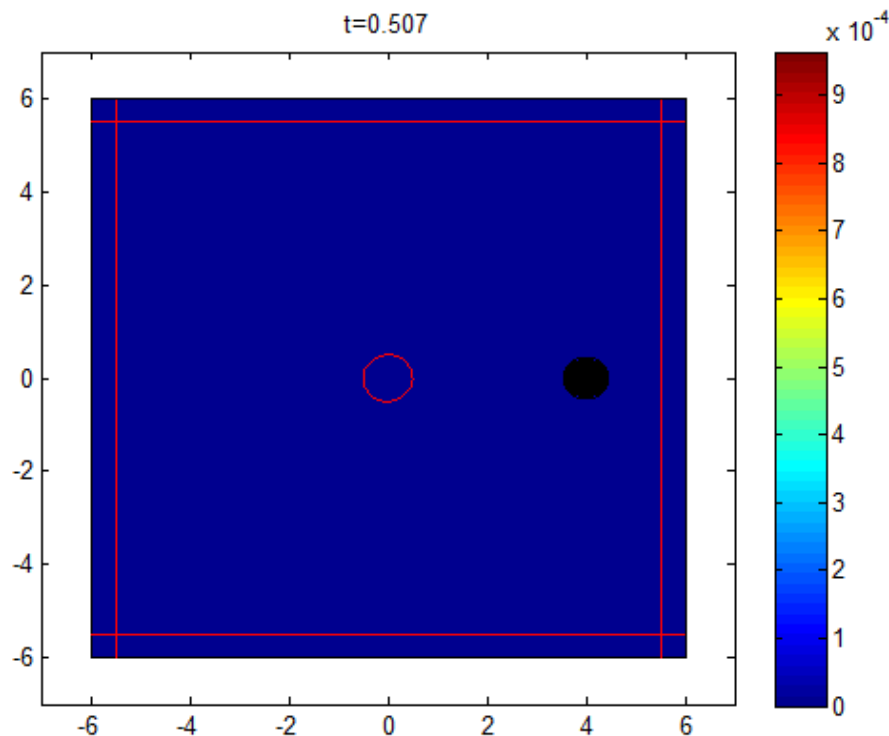
$$\delta_d(\vec{x}) = \frac{1}{d_x d_y} \phi\left(\frac{x}{d_x}\right) \phi\left(\frac{y}{d_y}\right)$$

$$\phi(r) = \begin{cases} \frac{1}{8}(3-2|r|+\sqrt{1+4|r|-4r^2}), & 0 \leq |r| \leq 1 \\ \frac{1}{8}(5-2|r|+\sqrt{-7+12|r|-4r^2}), & 1 \leq |r| \leq 2 \\ 0, & |r| > 2 \end{cases}$$

F_x, F_y : 固壁上的力源线密度

圆柱声散射数值实验-实验结果及分析

云图结果



时间步长 : 0.0169s

空间步长 : 0.0217

计算时间 : 15s

边界Lagrange数 : 144

CFL : 0.5

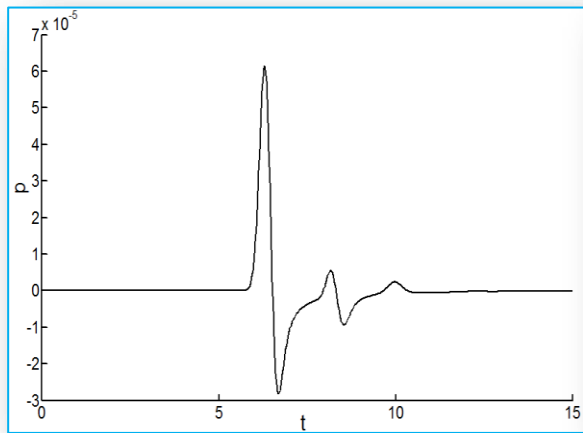
Cartesian网格 : 553*553

PPW : 36

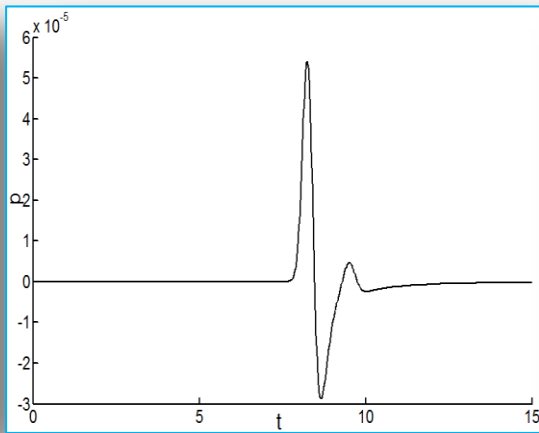


圆柱声散射数值实验-实验结果及分析

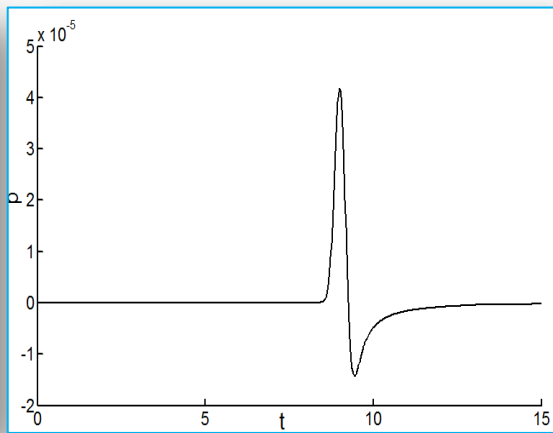
定量曲线结果



探针A



探针B



探针C

数值探针声压分析

1. 从数值算例上看，DRP格式和LDDRK具有很小的频散，可以很好地模拟声散射问题；
2. 对于非线性声波的传播，可变人工黏性对于其正确捕捉到激波至关重要；
3. 辐射及出流边界条件建立在摄动解之上，对于声源远离边界的问题可以很好地满足无反射边界条件；

4. IB求解声散射问题极其方便，且配合对正交性要求严格的DRP格式非常有效；
5. PML吸收边界条件施加非常方便，且能很好满足无反射边界条件。



Thanks for Your Attention!

THANKS FOR YOUR ATTENTION!